

АКУСТИКА И МОЛЕКУЛЯРНАЯ ФИЗИКА

УДК 533.6.011.72

ВОССТАНОВЛЕНИЕ ПЛОТНОСТИ В ОКРЕСТНОСТИ ФРОНТА ПЛОСКОЙ УДАРНОЙ ВОЛНЫ ПО ФОРМЕ ШЛИРЕН-СИГНАЛА

В.И.Иванов, Г.И.Сингаевская, Е.Н.Фоменко, Ф.В.Шугаев

(кафедра молекулярной физики и физических измерений; кафедра математики)

Разработана шлирен-методика исследования плотности в окрестности плоской ударной волны, учитывающая дифракцию лазерного пучка. Для плотности получено интегральное уравнение типа свертки, которое решается методом регуляризации Тихонова. Предлагаемая методика восстановления плотности применена для обработки данных, полученных в экспериментах с ударными волнами в низкотемпературной плазме, создаваемой ВЧ-разрядом в аргоне.

1. Шлирен-методика, предложенная в 1965 г. [1], использовалась в ряде работ для изучения кинетики в газах. Восстановление плотности в работах [1,2] основано на приближении геометрической оптики и ограничено случаем плавного изменения плотности. В частности, метод [1,2] не годится для исследования профиля плотности в окрестности фронта ударной волны, когда характерная длина много меньше диаметра светового пучка.

В работе [2] получено нелинейное интегральное уравнение для восстановления плотности по отклонению лазерного пучка на произвольной неоднородности. Решение его представляет собой некорректно поставленную задачу и наталкивается на значительные трудности.

В настоящей работе предлагается новый подход к задаче восстановления плотности газа по форме шлирен-сигнала. Для плотности получено линейное интегральное уравнение типа свертки, учитывающее дифракцию лазерного пучка и аппаратную функцию фотодиода. При обработке экспериментальных шлирен-сигналов это уравнение решается численно с помощью метода регуляризации Тихонова [3].

2. Исходим из следующих предположений.

1°. Газ в ударной трубе рассматривается как фазовый экран, причем дополнительный набег фазы $\Delta\varphi$ на неоднородности меньше $\pi/2$.

2°. Плотность газа за ударной волной в системе координат, связанной с волной, не зависит от времени: $\rho = \rho(x_1)$, $x_1 = \eta + v_s t$, где v_s – скорость распространения ударной волны.

3°. Лазерный пучок считается гауссовым.

Рассмотрим дифракцию гауссова пучка на фазовом экране (рис. 1). Волновое уравнение в случае скалярного поля имеет вид

$$\Delta E - (1/c^2)(\partial^2 E / \partial t^2) = 0,$$

где c – скорость света. Представим поле E в виде

$$E(x, y, z, t) = v(x, y, z) \exp(i\omega t),$$

$$v(x, y, z) = u(x, y, z) \exp(-ikz), \quad k = 2\pi/\lambda.$$

Используя приближение слабо меняющейся амплитуды ($\partial^2 u / \partial z^2 \ll k \partial u / \partial z$), имеем [4]

$$\frac{\partial^2 u}{\partial x^2} + \frac{\partial^2 u}{\partial y^2} - 2ik \frac{\partial u}{\partial z} = 0. \quad (1)$$

Решение этого параболического уравнения может быть записано с помощью функции Грина G :

$$u(x, y, z) = \iint_{-\infty}^{\infty} G(x, y, z - z_0, \xi, \eta) u_g(\xi, \eta, z_0) d\xi d\eta,$$

где u_g – значение функции u в плоскости $z = z_0$. В случае гауссова пучка, падающего на фазовый экран, u_g есть значение функции u непосредственно за фазовым экраном:

$$u_g(\xi, \eta, z_0) = -\sqrt{I_0} \frac{ip}{z_0 - ip} \exp\left(ik \frac{\xi^2 + \eta^2}{2(z_0 - ip)} + i\Delta\varphi(\xi)\right)_{z_0 = a},$$

$$p = k\omega_0^2,$$

где ξ, η – координаты в плоскости фазового экрана, a – расстояние от лазера до ударной трубы (см. рис.1), ω_0 – диаметр пучка в области перетяжки, I_0 – интенсивность пучка, $\Delta\varphi$ – набег фазы на фазовом экране. Функция Грина равна

$$G(x, y, z, \xi, \eta) = -\frac{ik}{2\pi z} \exp\{ik((x-\xi)^2 + (y-\eta)^2)/2z\}.$$

Таким образом, решение уравнения (1) в плос-

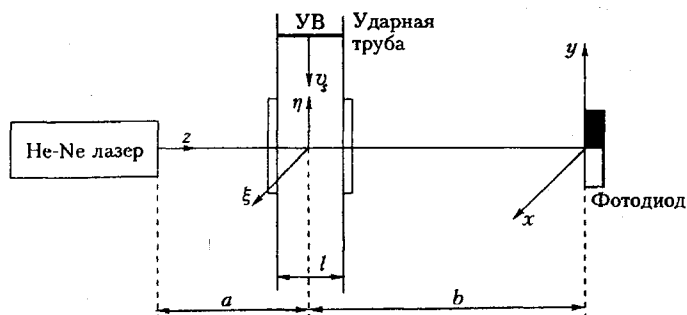


Рис. 1. Экспериментальная установка и система координат

кости фотодиода имеет вид

$$u(x, y, a+b) = -\sqrt{J_0} \frac{kp}{2\pi(a-ip)b} \iint_{-\infty}^{\infty} \exp\{-A(\xi^2+\eta^2) -$$

$$-B(x-\xi)^2 + (y-\eta)^2 + i\Delta\varphi(\eta)\} d\xi d\eta = c(x)\{u(y) + i\varepsilon(y)\},$$

$$c(x) = -\sqrt{J_0} \frac{|B|p}{\sqrt{\pi}(a-ip)\sqrt{A+B}} \exp[-ABx^2/(A+B)],$$

$$u_0(y) = \sqrt{\pi A_1 B_1 / (A_1 + B_1)} \exp(-y^2 / (A_1 + B_1)),$$

$$\varepsilon(y) = \int_{-\infty}^{\infty} \sin \Delta\varphi(\eta) \exp(-A\eta^2 - B(y-\eta)^2) d\eta,$$

$$A = -ik/2(a-ip), \quad B = -ik/2b,$$

$$A_1 = 1/A, \quad B_1 = 1/B,$$

Величина b есть расстояние между ударной трубой и приемником (см. рис. 1).

До сих пор мы считали набег фазы $\Delta\varphi$ конечной величиной, меньшей $\pi/2$. Далее для простоты полагаем $|\Delta\varphi| \ll 1$. В этом случае $\exp(i\Delta\varphi) \approx 1 + i\Delta\varphi$. В наших экспериментах $\Delta\varphi \approx 0,02$. Ошибка, которую мы совершаем, разлагая в ряд и ограничиваясь первым членом разложения, не превышает нескольких процентов.

Поток энергии, падающий на одну из секций фотодиода, равен

$$I_1 = \int_{-\infty}^{\infty} dx \int_0^{\infty} dy |c(x)|^2 |u_0(y) + i\varepsilon(y)|^2.$$

Поток, падающий на другую секцию, равен

$$I_2 = \int_{-\infty}^{\infty} dx \int_0^{\infty} dy |c(x)|^2 |u_0(y) + i\varepsilon(y)|^2.$$

Сигнал, снимаемый с фотодиода, пропорционален разности потоков:

$$V = \text{const}(I_1 - I_2). \quad (2)$$

В нашем случае $|u_0 + i\varepsilon|^2 = |u_0|^2 + 2\text{Re}(i\varepsilon u_0^*)$, где u_0^* - комплексно сопряженная величина, причем

$$\int_{-\infty}^0 |u_0|^2 dy = \int_0^{\infty} |u_0|^2 dy$$

в силу четности функции u_0 . Константа, входящая в

выражение (2), находится из калибровочной кривой фотодиода.

Учитывая эти соображения, получаем окончательное выражение для ширен-сигнала:

$$V(X) = \frac{2kk_{GD}l}{\sqrt{\pi}} \frac{\sqrt{(a+b)^2+p^2}}{a^2+p^2} \frac{dV}{d\zeta} \int_{-\infty}^{\infty} \Delta\rho(s)L(X-s)s, \quad (3)$$

$$L(X-s) = \int_{-\infty}^{\infty} L_{\text{opt}}(X-\tau)L_{\text{ap}}(\tau-s)d\tau,$$

$$L_{\text{opt}} = \text{Im}(\exp(-t)^2(A+A^*)\text{cerf}(-tv_s(A_1^*-B_1)/A_1^*B_1)),$$

$$X = v_s t,$$

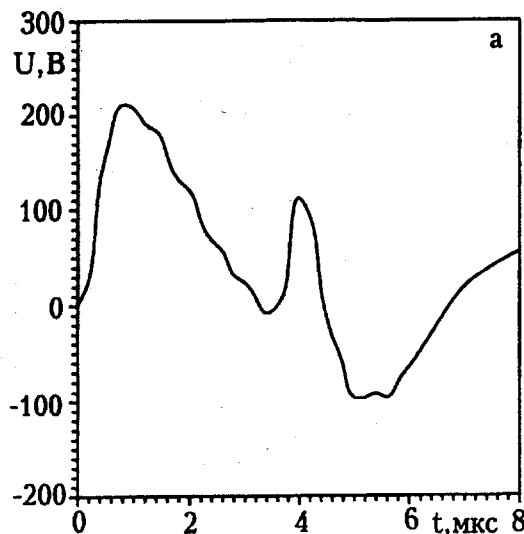
где L_{ap} - аппаратная функция фотодиода, $dV/d\zeta$ - калибровочная постоянная, ζ - величина смещения приемника, k_{GD} - постоянная Гладстона-Дэйла, l - ширина рабочей секции, ρ - плотность, cerf - интеграл ошибок. Аппаратная функция фотодиода была определена экспериментально.

3. Уравнение (3) может быть решено с помощью классического преобразования Фурье. Однако измеряемые величины определяются в эксперименте с некоторой погрешностью, что может значительно изменить решение $\rho(x)$. Более того, может оказаться, что уравнение (3) вообще не имеет решения. Мы имеем дело с некорректно поставленной задачей и для ее численного решения используем метод регуляризирующих функционалов Тихонова [3].

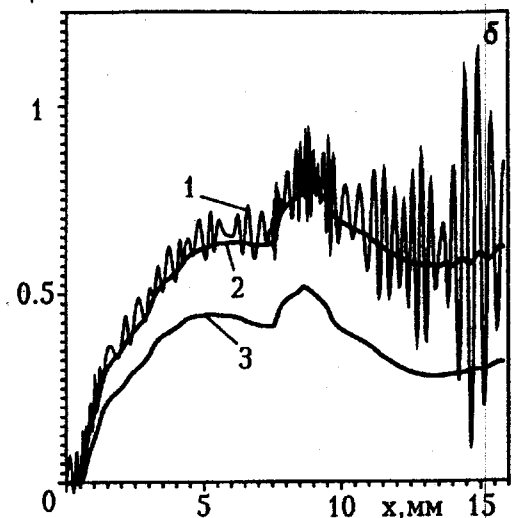
В процессе вычислений применяется преобразование Фурье. Это означает, что следует рассматривать периодические функции. Чтобы избежать искажений решения, мы создавали буферную зону, где значения ширен-сигнала приравнивали нулю.

При выборе параметра регуляризации α использовались следующие соображения. При малых значениях α решение неустойчиво. При возрастании α решение сглаживается и становится устойчивым в пределах некоторого интервала значений α . Оптимальное значение α лежит внутри этого интервала. Дальнейшее повышение α приводит к сильному сглаживанию и искажению решения. На рис. 2, а по-

Рис. 2. Типичный ширен-сигнал (а) и восстановленное по нему распределение плотности в окрестности фронта ударной волны (б); $\alpha = 10^{-8}$ (1), $10^{-6} \div 10^{-4}$ (2) и 10^{-2} (3)



$\Delta\rho \cdot 10^5, \text{ г/см}^3$



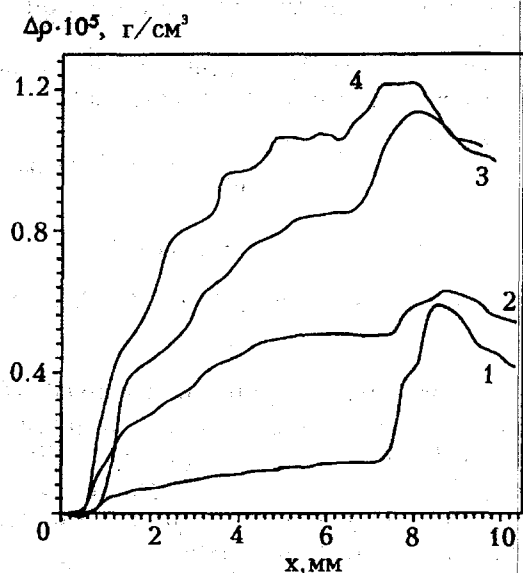


Рис. 3. Распределение плотности в аргоне при различных числах Маха: $M = 2,42$ (1); 3 (2); 3,25 (3) и 3,4 (4)

казан типичный шпирен-сигнал, а на рис. 2, б – восстановленные значения плотности при разных значениях параметра регуляризации α . При $\alpha = 10^{-8}$ решение обнаруживает хаотические пульсации, при $10^{-6} \leq \alpha \leq 10^{-4}$ решение устойчиво (именно эти значения использовались при обработке экспериментальных данных). При $\alpha = 10^{-2}$ вид решения искажается.

4. Эксперименты выполнены в однодиафрагменной ударной трубе прямоугольного сечения 40×60 мм с диэлектрической рабочей секцией, снабженной оптическими окнами диаметром 60 мм. Две металлические пластины были смонтированы на верхней и нижней стенках секции. Между пластинами создавался поперечный ВЧ-разряд с помощью ВЧ-генератора ($f = 13,6$ МГц). Плотность тока составляла 40 мА/см², длина зоны разряда – 80 мм. Для измерения плотности в окрестности фронта волны и за волной использована лазерная шпирен-методика. Источником света служил гелий-неоновый лазер. Пучок лазера диаметром 1 мм падал на секционированный фотодиод, сигнал с которого поступал на осциллограф типа С9-8. Скорость ударной волны измерялась с помощью пьезодатчиков вне зоны разряда и с помощью шпирен-сигналов внутри нее. Начальная поступательная температура найдена по значениям плотности, измеренным с помощью интерферометра Фабри-Перо.

Для калибровки фотодиода мы перемещали его вдоль прямой, перпендикулярной оси лазерного пучка. Таким образом была получена калибровочная кривая – зависимость напряжения на фотодиоде от расстояния между осью лазерного пучка и центром фотодиода.

На рис. 3 приведено распределение плотности в окрестности фронта ударной волны в низкотемпературной плазме ВЧ-разряда при различных значениях числа Маха. Начальная температура составляла 1100 К, начальное давление – 8 Торр.

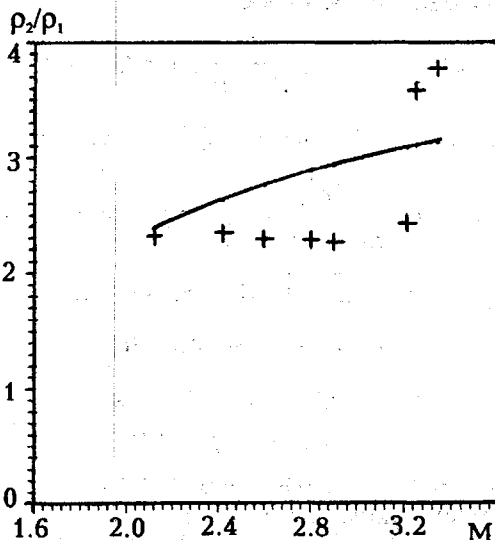


Рис. 4. Отношение плотностей в аргоне при различных числах Маха (сплошная линия – расчет, крестики – эксперимент)

Ударная волна в области разряда имеет двухступенчатую структуру, а ширина зоны ударного перехода значительно превышает толщину волны в отсутствие разряда.

На рис. 4 сравниваются экспериментальные значения и расчетная кривая отношения плотностей при переходе через ударную волну. Расчет выполнен по обычным соотношениям для ударной волны без учета выделения энергии за фронтом волны. В качестве экспериментального использовалось максимальное значение плотности за волной. Видно, что эксперимент хорошо согласуется с расчетом. В молекулярном газе (CO_2) такого соответствия не наблюдается [5]: экспериментальные значения оказываются приблизительно в 2 раза ниже расчетных.

Таким образом, разработан метод расчета плотности в окрестности фронта ударной волны по форме шпирен-сигнала. Обработка экспериментальных данных по предложенному методу показала, что ударная волна в низкотемпературной плазме ВЧ-разряда имеет двухступенчатую структуру. Обнаружено, что толщина ударной волны в зоне разряда значительно выше, чем в невозбужденном газе.

Литература

1. Kiefer J.H., Lutz R.W. // Phys. Fluids. 1965. 8. P. 1393.
2. Kiefer J.H., Hajduk J.C. // Proc. 12th Int. Symp. on Shock Waves and Tubes. Jerusalem, 1980. P. 97.
3. Тихонов А.Н., Гончарский А.В., Степанов В.В., Ягола А.Г. Численные методы решения некорректных задач. М., 1990.
4. Звелто О. Принципы лазеров. М., 1981.
5. Bystrov S.A., Fomenko E.N., Shugaev F.V., Shved G.I. // Proc. 19th Int. Symp. on Shock Waves. Vol. II. Marseille, 1995. P. 391.